

物理学会 第70回年次大会(2015年)@早稲田大学
講演番号: 22aCB-5

強い磁場中でのハドロン質量

arXiv: 1412.6877

田屋 英俊 (東大総文, 東大理)

強い磁場

導入 → 理論 → 結果 → まとめ

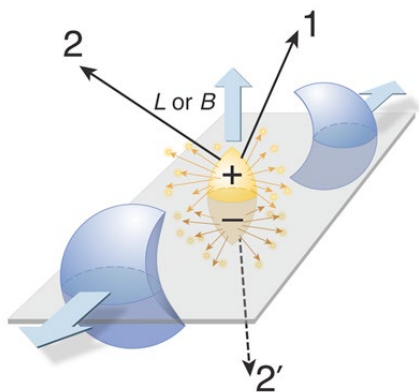
- ① 温度/密度以外の極限状態におけるハドロン物理

強い磁場

導入 → 理論 → 結果 → まとめ

- ① 温度/密度以外の極限状態におけるハドロン物理
- ② 現実世界に**存在**する可能性？

例1 重イオン衝突



$$eB \sim 10^{18-20} \text{G}$$
$$\sim (1-10 \times \Lambda_{\text{QCD}})^2$$

Kharzeev, McLerran, Warringa (2007)
Skokov, Illarionov, Toneev (2009)
Deng, Huang (2012)

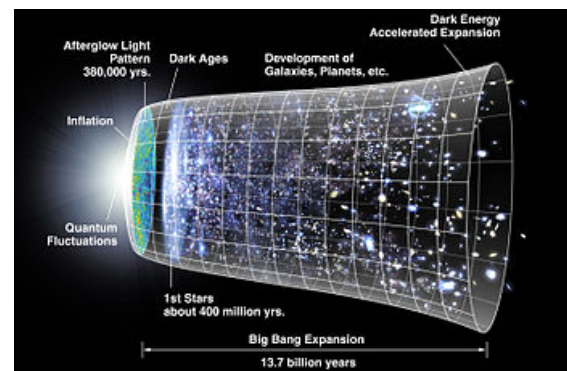
例2 中性子星の内部



$$eB \lesssim 10^{20} \text{G}$$
$$\sim (10 \times \Lambda_{\text{QCD}})^2$$

Ferrer, Incera, Keith, Portillo,
Springsteen (2010)

例3 初期宇宙(電弱相転移)



$$eB \sim 10^{23} \text{G}$$
$$\sim (100 \times \Lambda_{\text{QCD}})^2$$

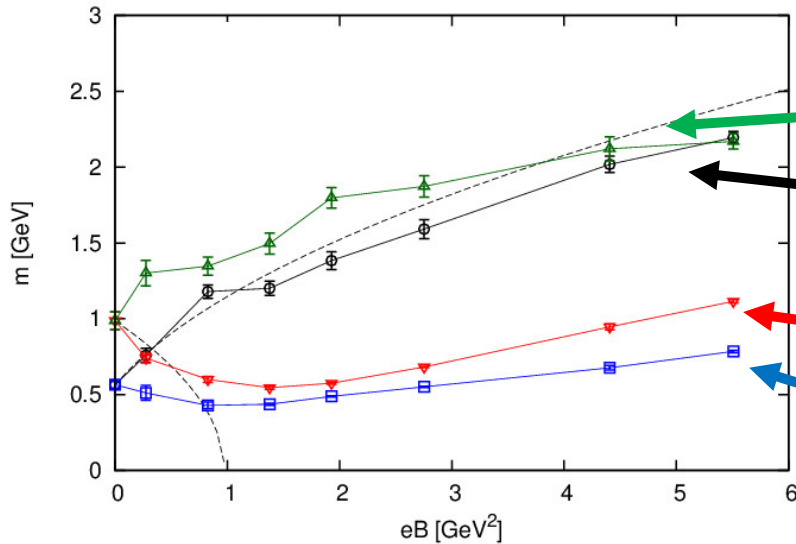
Vachaspati (1991)
Enqvist, Olesen (1993)

軽いメソン(π , ρ)の質量

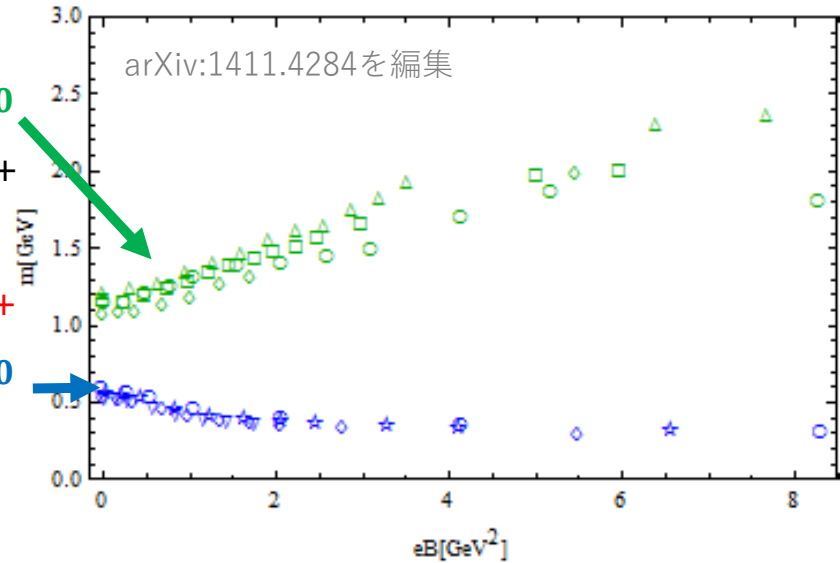
導入 → 理論 → 結果 → まとめ

(↓ 中性粒子のみ)

Hidaka, Yamamoto (2013)



Luschevskaya, Teryaev, Kochetkov (2014)



ρ^0, π^+ : \sqrt{eB} で増える ρ^+, π^0 : 弱い依存性	}	$\rho^0 \sim \pi^+ > \rho^+ \sim \pi^0$
---	---	---

✗ ハドロン有効模型では再現できない Chernodub (2010)

✗ 物理的起源は不明

これから議論すること

導入 → 理論 → 結果 → まとめ

- ① 格子の結果を物理的に説明するモデルの構築
- ② さまざまなハドロン質量の計算

これから議論すること

導入 → 理論 → 結果 → まとめ

- ① 格子の結果を物理的に説明するモデルの構築
- ② さまざまなハドロン質量の計算

「物理」として何が重要か？

導入 → **理論** → 結果 → まとめ

① クォークの自由度

「物理」として何が重要か？

導入 → **理論** → 結果 → まとめ

① クォークの自由度

② $SU(6) = SU(3)_{\text{flavor}} \otimes SU(2)_{\text{spin}}$ 対称性の破れ

弱い磁場

Gell-Mann (1964) Zweig (1964)
DeRujula, Georgi, Glashow (1975)

SU(6)対称性

$$M_{u\uparrow} = M_{u\downarrow} = M_{d\uparrow} = M_{d\downarrow} = M_{s\uparrow} = M_{s\downarrow}$$

強い磁場

Landau準位の形成 → ~~SU(6)対称性~~

$$M_{u\uparrow} = M_{u\downarrow} = M_{d\uparrow} = M_{d\downarrow} = M_{s\uparrow} = M_{s\downarrow}$$

「物理」として何が重要か？

導入 → **理論** → 結果 → まとめ

① クォークの自由度

② $SU(6) = SU(3)_{\text{flavor}} \otimes SU(2)_{\text{spin}}$ 対称性の破れ

弱い磁場

Gell-Mann (1964) Zweig (1964)
DeRujula, Georgi, Glashow (1975)

SU(6)対称性

$$M_{u\uparrow} = M_{u\downarrow} = M_{d\uparrow} = M_{d\downarrow} = M_{s\uparrow} = M_{s\downarrow}$$

強い磁場

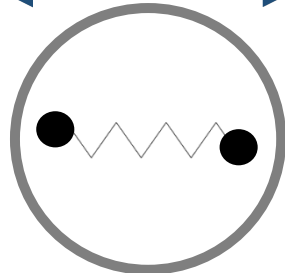
Landau準位の形成 → ~~SU(6)対称性~~

$$M_{u\uparrow} = M_{u\downarrow} = M_{d\downarrow} = M_{d\uparrow} = M_{s\uparrow} = M_{s\downarrow}$$

③ ハドロン体積の縮小(閉じ込めポテンシャル)

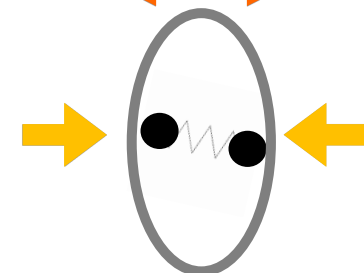
弱い磁場

$\langle r \rangle \sim 1/\Lambda_{\text{QCD}}$



強い磁場

$\langle r \rangle \sim 1/\sqrt{eB}$



$\Delta V_{\text{閉じ込め}} \sim \sigma \langle r \rangle$

模型

導入 → **理論** → 結果 → まとめ

模型

1粒子Hamiltonian

$$\begin{cases} H(\mathbf{r}) = \boldsymbol{\alpha} \cdot (-i\nabla - q\mathbf{A}) + \beta V(\mathbf{r}) \\ V(\mathbf{r}) = \sqrt{m^2 + \sigma^2 r^2} \end{cases}$$

電荷 磁場
カレント質量 線形な閉じ込め

に従うクォーク模型。

Dirac方程式 $H\psi = E\psi$ を解いて求まる最低エネルギー固有値 M を用いて、**ハドロン**の基底状態を正しく構成し、ハドロンの質量 $M_{\text{Hadron}} = \sum M_{\text{quark}}$ を求める。

模型

導入 → **理論** → 結果 → まとめ

模型

1粒子Hamiltonian
$$\begin{cases} H(\mathbf{r}) = \boldsymbol{\alpha} \cdot (-i\nabla - q\mathbf{A}) + \beta V(\mathbf{r}) \\ V(\mathbf{r}) = \sqrt{m^2 + \sigma^2 r^2} \end{cases}$$

電荷磁場
カレント質量 線形な閉じ込め

に従うクォーク模型。

Dirac方程式 $H\psi = E\psi$ を解いて求まる最低エネルギー固有値 M を用いて、ハドロンの基底状態を正しく構成し、ハドロンの質量 $M_{\text{Hadron}} = \sum M_{\text{quark}}$ を求める。

▶ ハドロンの基底状態

$$M(B) = \sqrt{m^2 + \sigma + 2\sqrt{\sigma^2 + (qB/2)^2} - sqB} \sim \begin{cases} \sqrt{m^2 + \sigma + 2|qB|} & sq < 0 \\ \sqrt{m^2 + \sigma} & sq > 0 \end{cases} \Rightarrow M_{sq < 0} > M_{sq > 0}$$

- ① ハドロンの基底状態は $sq > 0$ のクォークの数が最大となるよう構成される
- ② $sq < 0$ のクォークがあると、 $\sqrt{2|qB|}$ でハドロン質量は増える

模型

導入 → 理論 → 結果 → まとめ

模型

1粒子Hamiltonian $\left\{ \begin{array}{l} H(\mathbf{r}) = \boldsymbol{\alpha} \cdot (-i\nabla - \overset{\text{電荷 磁場}}{q\mathbf{A}}) + \beta V(\mathbf{r}) \\ V(\mathbf{r}) = \sqrt{\overset{\text{カレント質量}}{m^2} + \overset{\text{線形な閉じ込め}}{\sigma^2 r^2}} \end{array} \right.$ に従うクォーク模型。

Dirac方程式 $H\psi = E\psi$ を解いて求まる最低エネルギー固有値 M を用いて、ハドロンの基底状態を正しく構成し、ハドロンの質量 $M_{\text{Hadron}} = \sum M_{\text{quark}}$ を求める。

▶ ハドロンの基底状態

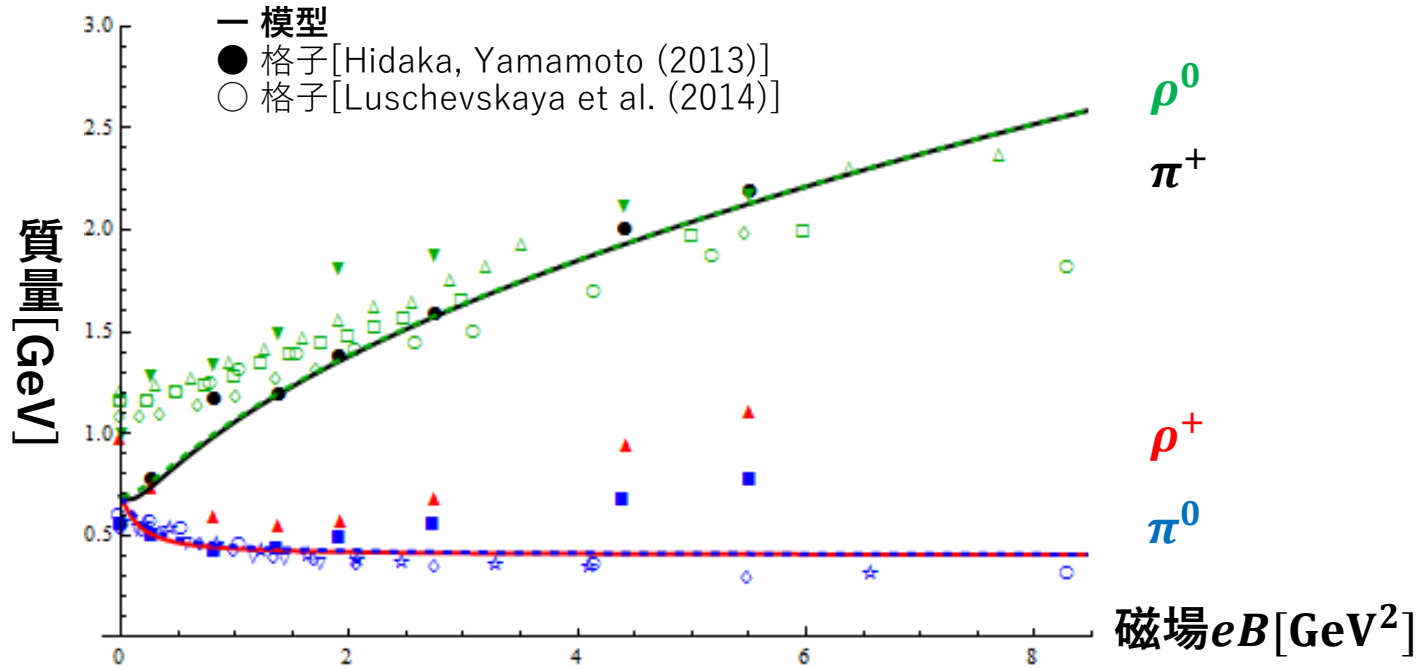
$$M(B) = \sqrt{m^2 + \sigma + 2\sqrt{\sigma^2 + (qB/2)^2} - sqB} \sim \begin{cases} \sqrt{m^2 + \sigma + 2|qB|} & sq < 0 \\ \sqrt{m^2 + \sigma} & sq > 0 \end{cases} \Rightarrow M_{sq < 0} > M_{sq > 0}$$

- ① ハドロンの基底状態は $sq > 0$ のクォークの数が最大となるよう構成される
- ② $sq < 0$ のクォークがあると、 $\sqrt{2|qB|}$ でハドロン質量は増える

例) ρ^+ 中間子 $u \downarrow \bar{d} \downarrow \frac{u \downarrow \bar{d} \uparrow \pm u \uparrow \bar{d} \downarrow}{\sqrt{2}} u \uparrow \bar{d} \uparrow$

軽いメソン：格子との比較

導入 → 理論 → **結果** → まとめ



ρ^0, π^+ : \sqrt{eB} で増える
 ρ^+, π^0 : 弱い依存性

$\rho^0 \sim \pi^+ > \rho^+ \sim \pi^0$

ρ^0, π^+ は $sq < 0$ となる $\bar{d} \uparrow$ を含むが、 ρ^+, π^0 は、すべて $sq > 0$

これから議論すること

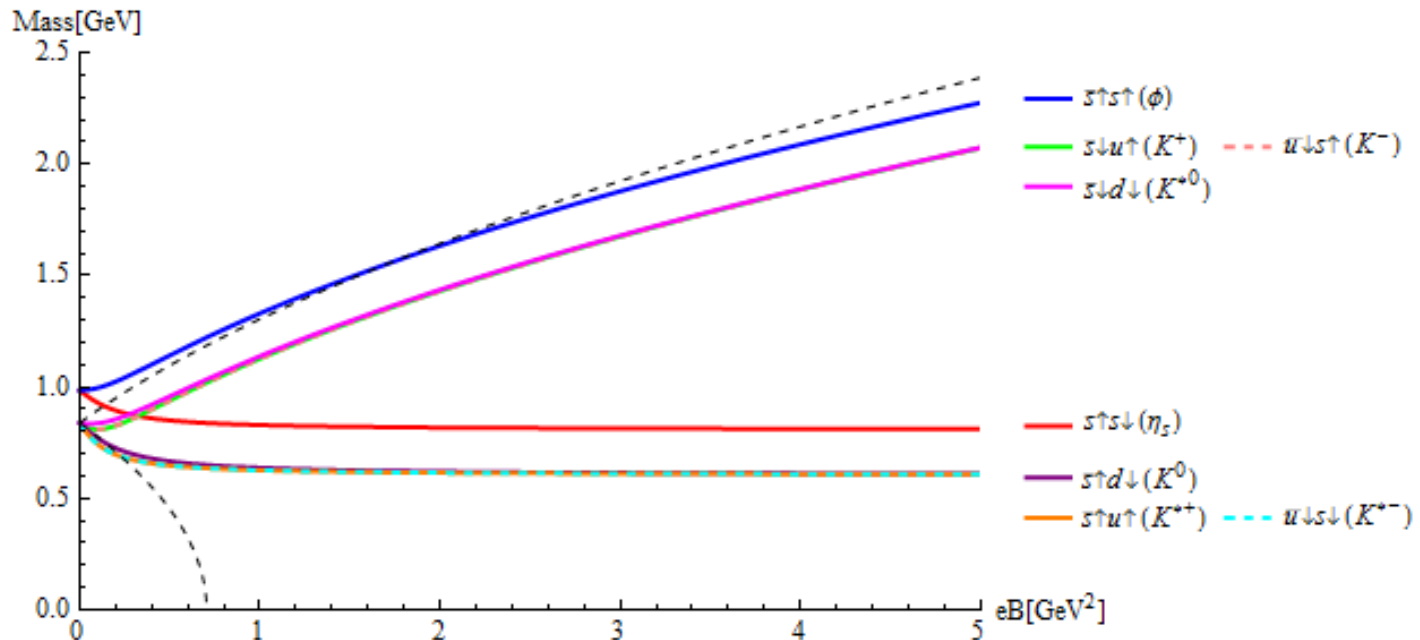
導入 → 理論 → **結果** → まとめ

- ① 格子の結果を物理的に説明するモデルの構築
- ② さまざまなハドロン質量の予言

他のハドロン

導入 → 理論 → **結果** → まとめ

① ストレンジネスがあるメソン



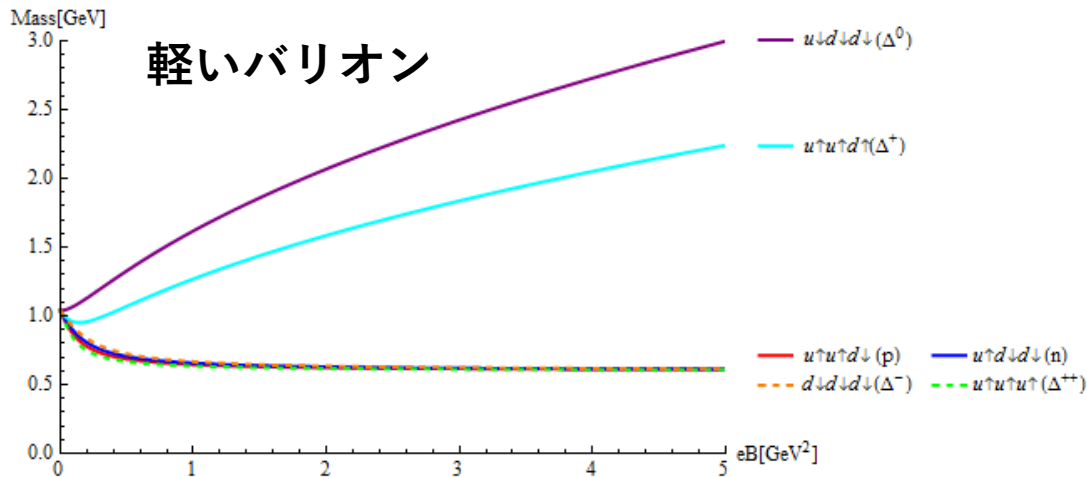
$$\phi \gtrsim K^\pm, K^{*0} > \eta \gtrsim K^0, K^{*\pm}$$

他のハドロン

導入 → 理論 → **結果** → まとめ

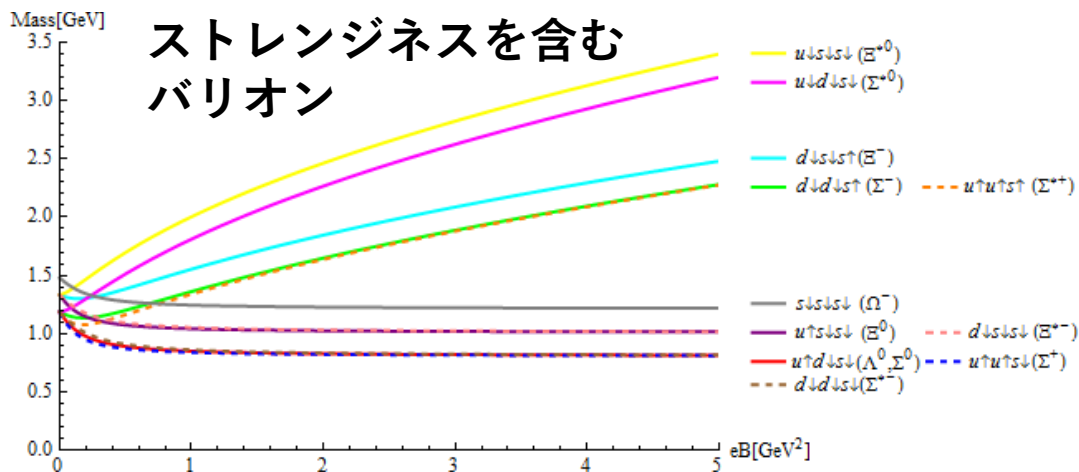
② バリオン

軽いバリオン



$$\Delta^0 > \Delta^+ > p, n, \Delta^-, \Delta^{++}$$

ストレンジネスを含む バリオン



$$\Xi^{*0} \gtrsim \Sigma^{*0}$$

$$> \Xi^- \gtrsim \Sigma^-, \Sigma^{*+}$$

$$> \Omega^- \gtrsim \Xi^0, \Xi^{*+}$$

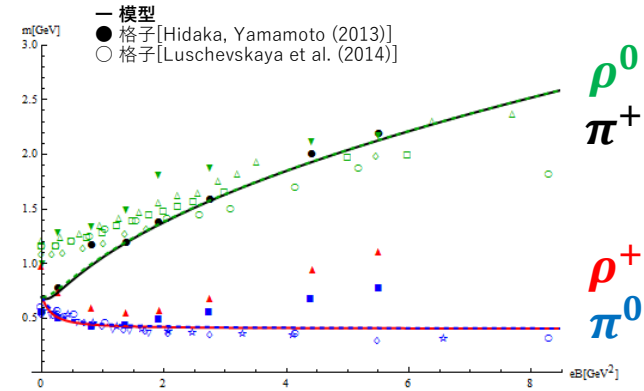
$$\gtrsim \Lambda^0, \Sigma^0, \Sigma^*, \Sigma^{*-}$$

まとめ

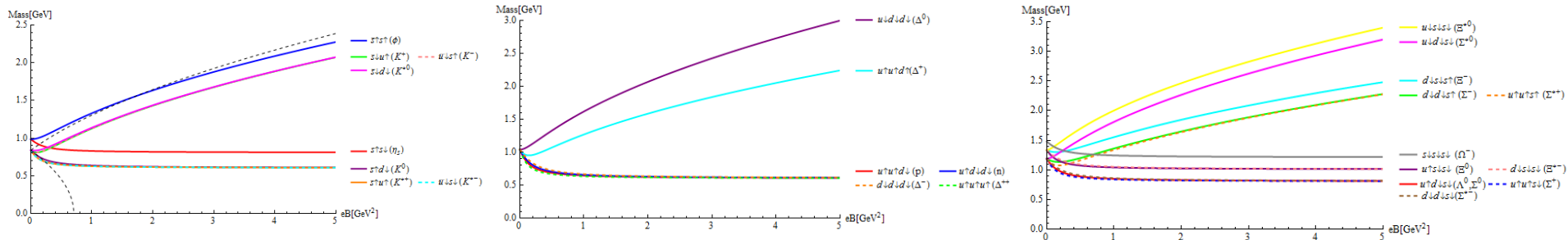
導入 → 理論 → 結果 → **まとめ**

強い磁場中でのハドロン質量を議論した。

- ▶ 『クォークの自由度』 『SU(6)=SU(3)flavor \otimes SU(2) spin 対称性の破れ』 『ハドロン体積の縮小(閉じ込めポテンシャル)』 を取り込んだ模型が格子の結果を自然に説明できる。



- ▶ 軽いメソン以外の、バリオンやストレンジネスを含むハドロンの質量を計算した。



詳細は[arXiv:1412.6877]

補足

Squeezing of quarks

$$\rho = |N|^2 e^{-\sqrt{(qB/2)^2 + \sigma_{\perp}^2} r^2} e^{-\sigma_{\parallel} z^2} \times \left[1 + \frac{(\sqrt{(qB/2)^2 + \sigma_{\perp}^2} - qBs/2)^2 r^2 + \sigma_{\parallel}^2 z^2}{(M + \sqrt{m^2 + \sigma_{\perp}^2 r^2 + \sigma_{\parallel}^2 z^2})^2} \right]$$

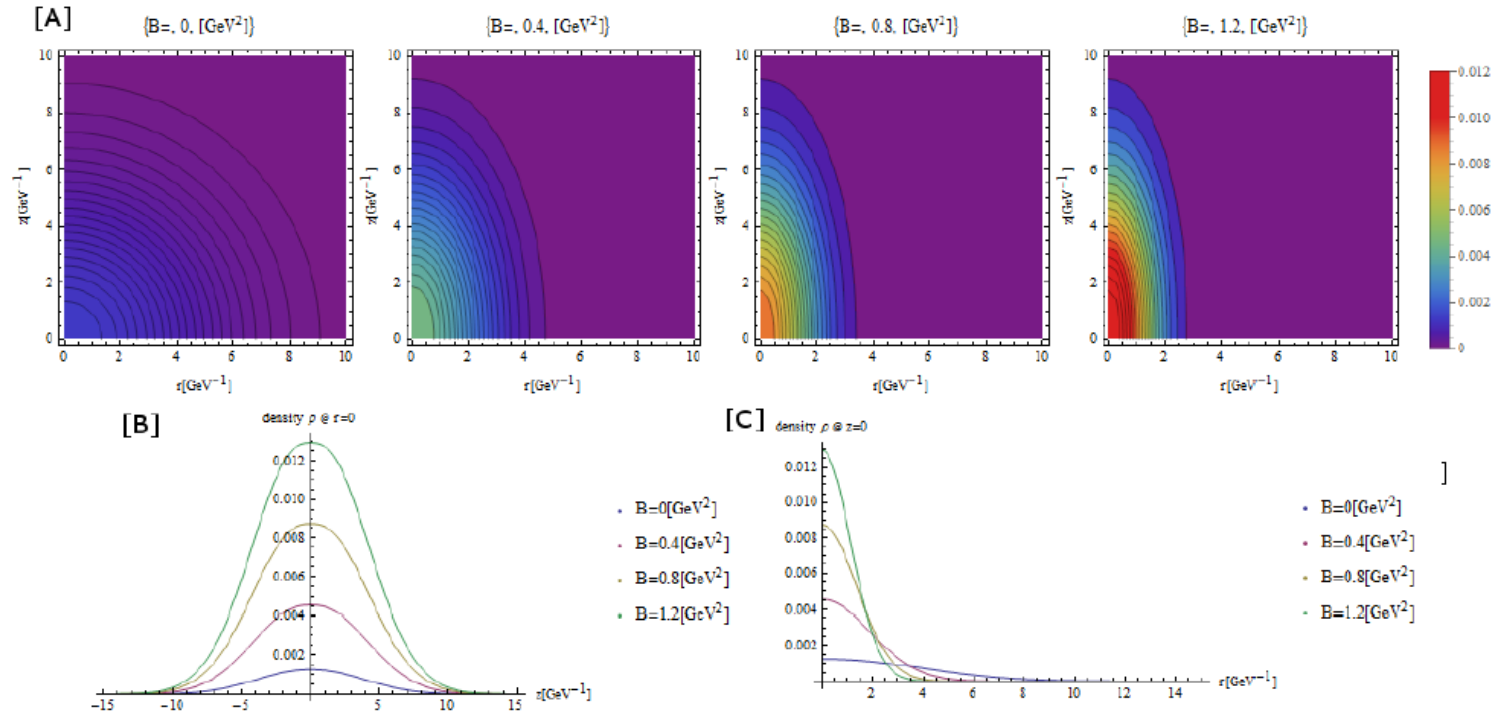
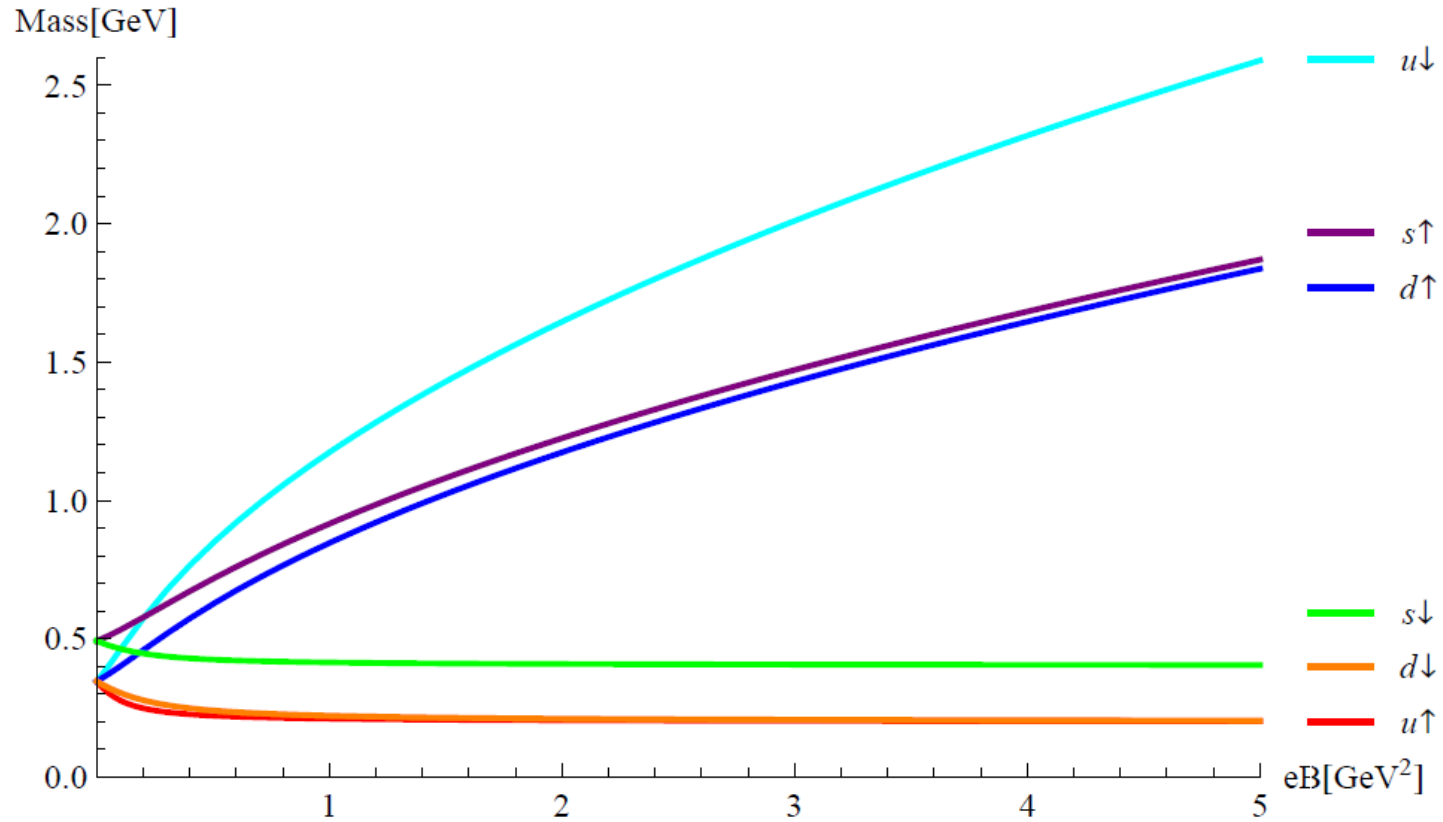


Fig 41: Plots of density ρ of $u \uparrow$ quark at various magnetic field strength $B = 0, 0.4, 0.8, 1.2$ GeV 2 . [A] contour plot in terms of r, z , [B] z -dependence at $r = 0$, [C] r -dependence at $z = 0$.

クォーク質量



$$M(B) = \sqrt{m^2 + \sigma + 2\sqrt{\sigma^2 + (qB/2)^2}} - qBs$$

$$m_u = m_d = 0\text{MeV} \quad m_s = 350\text{MeV} \quad \sigma = (200\text{MeV})^2$$

ハドロン基底状態

Meson	Quarks	Baryon	Quarks
π^0	$u \uparrow \bar{u} \downarrow, d \downarrow \bar{d} \uparrow$	p	$u \uparrow u \uparrow d \downarrow$
π^+	$u \uparrow \bar{d} \downarrow$	n	$u \uparrow d \downarrow d \downarrow$
π^-	$d \uparrow \bar{u} \downarrow$	Λ	$u \uparrow d \downarrow s \downarrow$
η	$u \uparrow \bar{u} \downarrow, d \downarrow \bar{d} \uparrow, s \downarrow \bar{s} \uparrow$	Σ^+	$u \uparrow u \uparrow s \downarrow$
η'	$u \uparrow \bar{u} \downarrow, d \downarrow \bar{d} \uparrow, s \downarrow \bar{s} \uparrow$	Σ^0	$u \uparrow d \downarrow s \downarrow$
K^0	$d \downarrow \bar{s} \uparrow$	Σ^-	$d \downarrow d \downarrow s \uparrow$
\bar{K}^0	$s \downarrow \bar{d} \uparrow$	Ξ^0	$u \uparrow s \downarrow s \downarrow$
K^+	$u \uparrow \bar{s} \downarrow$	Ξ^-	$d \downarrow s \downarrow s \uparrow$
K^-	$s \uparrow \bar{u} \downarrow$	Δ^{++}	$u \uparrow u \uparrow u \uparrow$
ρ^0	$d \uparrow \bar{d} \uparrow, d \downarrow \bar{d} \downarrow$	Δ^+	$u \uparrow u \uparrow d \uparrow$
ρ^+	$u \uparrow \bar{d} \uparrow$	Δ^0	$u \downarrow d \downarrow d \downarrow$
ρ^-	$d \downarrow \bar{u} \downarrow$	Δ^-	$d \downarrow d \downarrow d \downarrow$
ω	$d \uparrow \bar{d} \uparrow, d \downarrow \bar{d} \downarrow$	Σ^{*+}	$u \uparrow u \uparrow s \uparrow$
ϕ	$s \uparrow \bar{s} \uparrow, s \downarrow \bar{s} \downarrow$	Σ^{*0}	$u \downarrow d \downarrow s \downarrow$
K^{*0}	$d \downarrow \bar{s} \downarrow$	Σ^{*-}	$d \downarrow d \downarrow s \downarrow$
\bar{K}^{*0}	$s \uparrow \bar{d} \uparrow$	Ξ^{*0}	$u \downarrow s \downarrow s \downarrow$
K^{*+}	$u \uparrow \bar{s} \uparrow$	Ξ^{*-}	$d \downarrow s \downarrow s \downarrow$
K^{*-}	$s \downarrow \bar{u} \downarrow$	Ω^-	$s \downarrow s \downarrow s \downarrow$

$$M(B) = \sqrt{m^2 + \sigma + 2\sqrt{\sigma^2 + (qB/2)^2} - sqB}$$

$$\sim \begin{cases} \sqrt{m^2 + \sigma + 2|qB|} & sq < 0 \\ \sqrt{m^2 + \sigma} & sq > 0 \end{cases}$$

$$\Rightarrow M_{sq < 0} > M_{sq > 0}$$

- ① ハドロン基底状態は $sq > 0$ のクォークの数が最大となるよう構成される
- ② $sq < 0$ のクォークがあると、 $\sqrt{2|qB|}$ でハドロン質量は増える

Short-range Interaction (SI)

$$\Delta M_{SI} = \frac{g^2}{2} \sum_{color} \int d^3x E \cdot E - \frac{g^2}{2} \sum_{color} \int d^3x B \cdot B$$

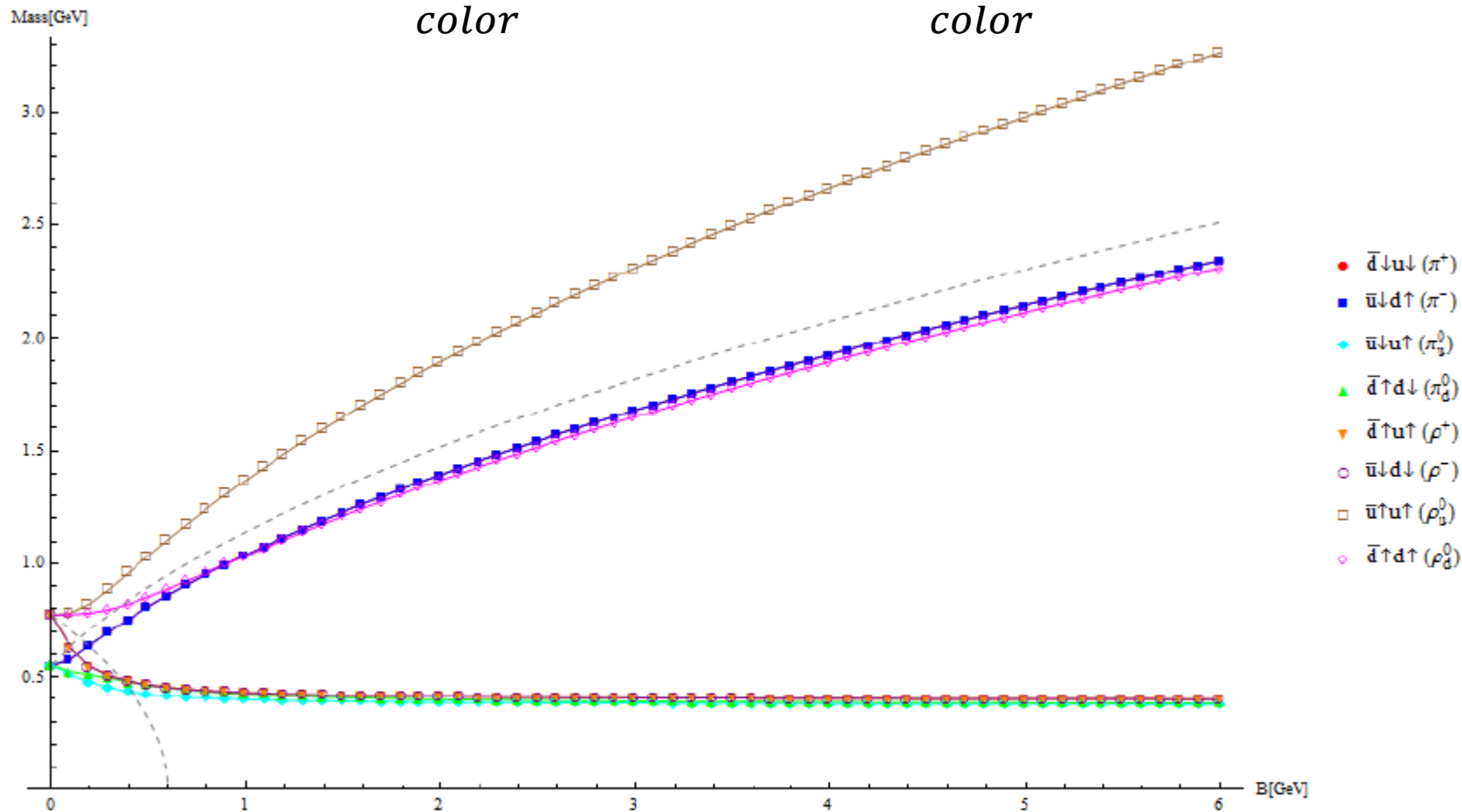


図 32: 相互作用を入れたときの軽いメソン

SI + Magnetic Catalysis

$$m \rightarrow \sqrt{m^2 + c qB} \quad (c: \text{const})$$

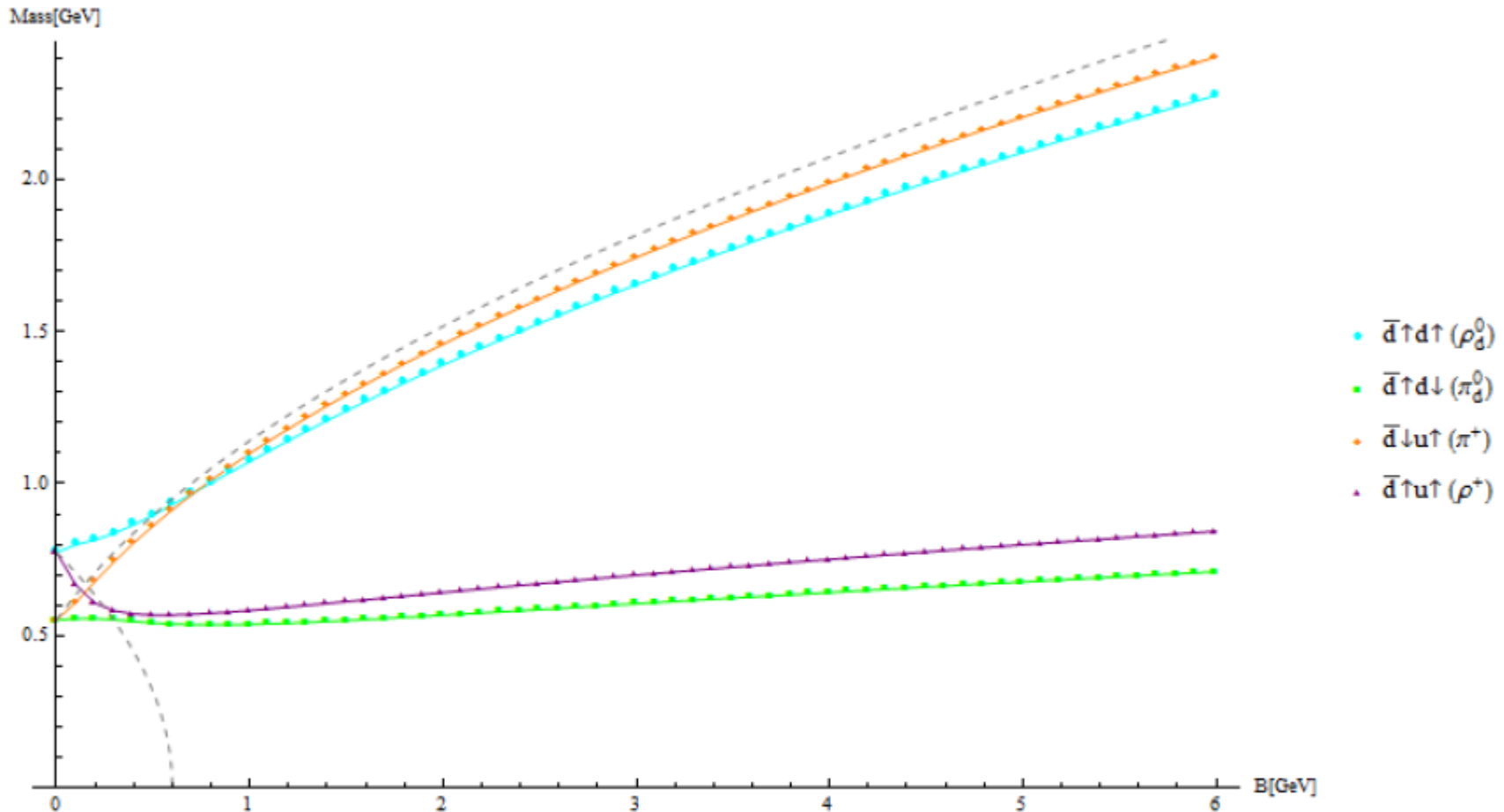


図 38: 相互作用と magnetic catalysis を入れたときの軽いメソン